

УДК 537.226: 539.21.01

Ю. М. Басалаев, П. В. Демшин, Е. Б. Китова, А. С. Поплавной

ЗАВИСИМОСТЬ ЭНЕРГЕТИЧЕСКОЙ СТРУКТУРЫ И ХИМИЧЕСКОЙ СВЯЗИ СОЕДИНЕНИЙ *NaCl* И *AgBr* ОТ ТЕМПЕРАТУРЫ

*В рамках метода функционала плотности с учетом факторов Дебая-Уоллера вычислены энергетическая зонная структура и карты распределения валентных электронов соединений *NaCl* и *AgBr* в широком интервале температур. Показано, что под воздействием температуры происходит перераспределение плотности заряда валентных электронов на связях между атомами, образующими кристалл, что способствует ослаблению этих связей.*

Основной задачей представленного исследования явилось изучение зависимости поведения плотности распределения заряда бинарных кристаллов со структурой типа *NaCl* от температуры. В качестве модельных объектов исследования были выбраны хорошо изученные и широко используемые на практике ионные соединения группы *AX*: *NaCl* и *AgBr*. Данный выбор обусловлен наличием информации о температурной зависимости параметров кристаллической решетки [1] и факторов Дебая-Уоллера [2-4] в широком интервале температур.

Для решения поставленной задачи были выполнены расчеты на основе современных квантовохимических методов. В основу вычислений положена теория функционала плотности. С целью изучения генезиса энергетического спектра исследуемых соединений использовался метод подрешеток [5], который дает возможность по-новому взглянуть на природу химической связи в кристаллах и рассмотреть участие каждого атома в процессе формирования этой связи. Температурная зависимость энергетического спектра кристаллов учитывалась в рамках теории Антончика, Брукса и Ю (АБЮ-теория), успешно применявшейся нами ранее к расчету зонной структуры кристаллов с решеткой халькопирита (см., например, [6]). Данная теория позволяет учесть в расчетах электронной структуры вклады, обусловленные тепловым расширением кристалла и тепловыми колебаниями образующих его атомов посредством введения структурного фактора, зависящего от температуры. Если известны факторы Дебая-Уоллера ($\exp \left\{ -|\mathbf{G}|^2 \cdot \langle u_j^2 \rangle / 6 \right\}$, где \mathbf{G} – вектор обратной решетки, $\langle u_j^2 \rangle$ – среднеквадратичное смещение j -того атома.), то вычисление энергетической зонной структуры кристалла с учетом температур-

ной зависимости может быть сделано фактически так же, как и при нулевой температуре. Величины среднеквадратичных смещений в интервале от 10 К до температуры плавления рассчитаны для большого количества ионных кристаллов [2].

Суть метода подрешеток заключается в том, что кристалл представляется как совокупность отдельных подрешеток, включающих в себя атомы, связанные между собой элементами пространственной группы симметрии данного кристалла. При этом каждая подрешетка строится из нейтральных атомов и поэтому в целом является электрически нейтральной. Структурные параметры для всего кристалла и для его подрешеток задаются в соответствии с реальной геометрической структурой соединения. Для оценки степени гибридизации между подрешетками кристалла рассматривается разностная плотность заряда, которая определяется как разность между плотностью всего кристалла и суммарной плотностью его подрешеток и вычисляется по формуле:

$$\Delta\rho(\vec{r}) = \rho^{\text{крист}}(\vec{r}) - \sum_s \rho_s^{\text{подр}}(\vec{r}).$$

На рис. 1 представлена вычисленная на основе метода подрешеток зонная структура кристалла *NaCl*, а также его катионной (*Na*) и анионной (*Cl*) подрешеток при температурах 100 К и 900 К. За начало отсчета энергии (в эВ) выбрано положение вершины валентной зоны в центре зоны Бриллюэна кристалла (точка Γ). Для удобства сопоставления энергетических спектров подрешеток и кристалла вычисленные уровни энергии в подрешетках были синхронно смещены. В соединении *NaCl* смещения задавались так, чтобы четвертый уровень в анионной подрешетке (атом *Cl*) совпадал с положением вершины валентной зоны в кристалле, а первый уровень катионной подрешетки (атом *Na*) совпадал с дном зоны проводимости кристалла в центре зоны Бриллюэна. Как видно из рисунка, структура зон *NaCl* имеет характерный для щелочно-галоидных соединений вид. Сопоставление зонных спектров кристалла и его подрешеток убедительно показывает, что валентная зона *NaCl* формируется фактически за счет *s*- и *p*-орбиталей атомов хлора.

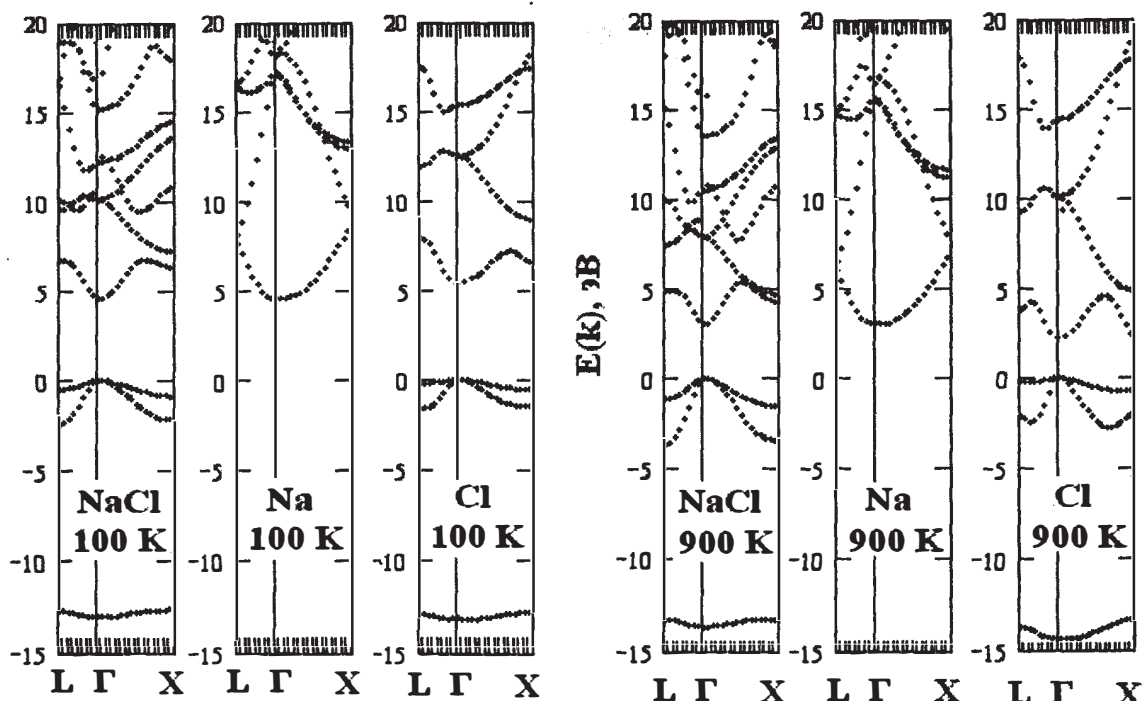


Рис. 1. Энергетическая зонная структура кристаллов NaCl , катионной (Na) и анионной (Cl) подрешеток, вычисленная при 100 К и 900 К

Зависимость зонной структуры щелочно-галоидных кристаллов (ЩГК) от температуры наглядно представлена на рис. 1. В качестве модельного объекта взят типичный представитель группы ЩГК – соединение NaCl , для которого были вычислены зонные спектры всего кристалла и его катионной и анионной подрешеток. Полученные таким образом характеристические параметры зонной структуры кристалла качественно хорошо согласуются с

имеющимися экспериментальными данными и могут быть обобщены на всю группу ЩГК. Значения ширины запрещенной зоны E_g , полной ширины валентной зоны ΔE_{B3} , ширины верхней связки валентных зон ΔE_{BB3} , вычисленные для NaCl при 100 К и 900 К в точках L , G , X , представлены в табл. 1. Здесь же даны значения соответствующих средних температурных коэффициентов.

Таблица 1

Параметры зонной структуры NaCl при 100 К и 900 К в точках L , G , X

NaCl	L		G		X	
	100 К	900 К	100 К	900 К	100 К	900 К
E_g	7.22	6.02	4.61	3.01	7.15	5.78
ΔE_{BB3}	2.39	3.63	-	-	2.19	3.45
ΔE_{B3}	12.72	13.31	13.04	13.69	12.65	13.36
$\alpha(E_g)$, эВ/К	$-1.50 \cdot 10^{-3}$		$-2.00 \cdot 10^{-3}$		$-1.71 \cdot 10^{-3}$	
$\alpha(\Delta E_{BB3})$, эВ/К	$1.55 \cdot 10^{-3}$				$-1.58 \cdot 10^{-3}$	
$\alpha(\Delta E_{B3})$, эВ/К	$0.74 \cdot 10^{-3}$		$0.81 \cdot 10^{-3}$		$0.89 \cdot 10^{-3}$	

О влиянии температуры на электронную структуру соединений можно также судить по изменениям в таких интегральных характеристиках, как плотность состояний $N(E)$ или распределение плотности заряда валентных электронов $p(r)$. На рис. 2 представлена плотность состояний кристалла NaCl при 100 К, 300 К и 900 К. Начало отсчета энергии совмещено с положением вершины валентной зоны в точке G . Тенденции поведения основных характеристик энергетического спектра с ростом температуры прослеживаются и в поведении пиков и полос на графиках $N(E)$. В целом при возрастании температуры можно говорить о размытии пиков и уширении энергетических полос по всему энергети-

ческому спектру кристалла, включая валентную зону с двумя характерными структурными пиками, и зону проводимости, имеющую сложный вид.

Аналогичные вычисления были выполнены нами для целого ряда ЩГК со структурой типа NaCl и CsCl . Как показал расчет, основные тенденции, характерные для энергетической структуры NaCl , представленные на рис. 1-2 и в табл. 1, имеют место в целом для всех ЩГК: с ростом температуры ширина запрещенной зоны кристаллов E_g уменьшается, полная ширина валентной зоны ΔE_{B3} и ширина верхней связки валентных зон ΔE_{BB3} увеличиваются.

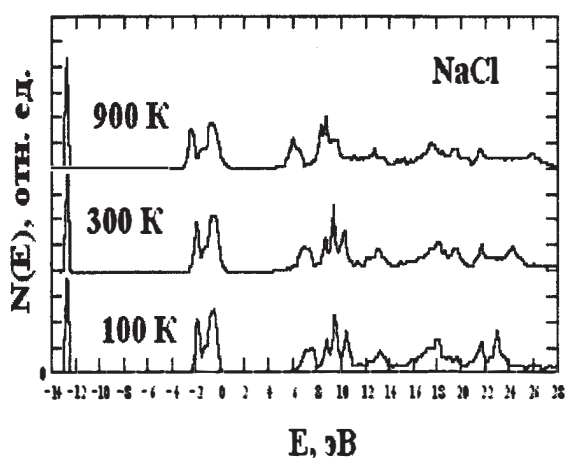


Рис. 2. Зависимость плотности состояний соединения $NaCl$ от температуры

Среди бинарных соединений, имеющих практическое значение и кристаллизующихся в структуру типа $NaCl$, можно выделить кристаллы галогенидов серебра. Особенностью этих соединений является наличие $4d$ -состояний серебра в валентной зоне кристалла. На рис. 3 представлена зонная структура кристалла $AgBr$, вычисленная при комнатной температуре. Кристалл является «непрямозонным», поскольку вершина валентной зоны реализуется не в

точке Γ , как в большинстве ШГК, а в боковой точке L . Из сопоставления энергетической зонной структуры соединений $NaCl$ и $AgBr$ (рис. 1 и 3) следует, что d -состояния атомов серебра, располагаясь вблизи вершины валентной зоны (на 1.82 эВ ниже уровня энергии в точке Γ), существенно влияют на зонный спектр кристалла $AgBr$ за счет гибридизации с p -состояниями атомов Br . Оценка вкладов атомных орбиталей в кристаллические орбитали показывает, что наиболее сильно гибридизация проявляется в боковой точке L . Согласно расчетам, максимум вершины валентной зоны реализуется в точке L и располагается на 1.63 эВ выше, чем в точке Γ . При этом вклад d -состояний атома серебра составляет от 73 % до 99 %. Соответственно вклад p -состояний атомов брома в точке L варьируется в пределах от 27 % до 1 %. Что касается точек Γ и X , то в них гибридизация уровней вблизи вершины валентной зоны за счет смешанных вкладов атомных орбиталей практически отсутствует. При объединении подрешеток катиона Ag и аниона Br в кристалл d -состояния серебра как бы «растягивают» p -состояния брома в точках L и X , приводя к увеличению дисперсности верхней связки валентных зон.

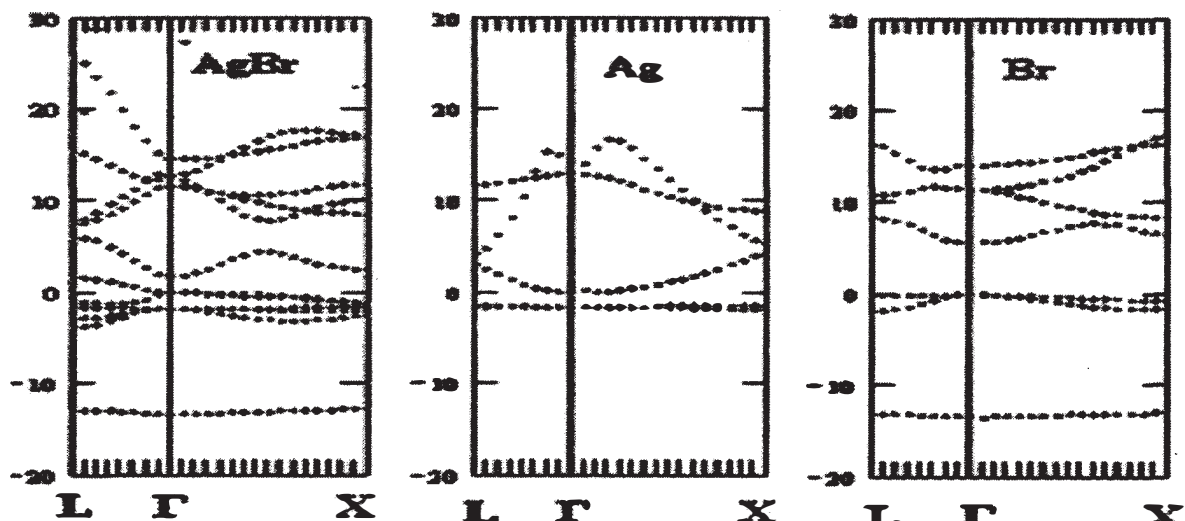


Рис. 3. Зонная структура кристаллов $AgBr$, катионной (Ag) и анионной (Br) подрешеток

Расчет энергетической структуры кристаллов $AgBr$ с учетом температурного фактора Дебая–Уоллера был выполнен нами при температурах 100, 293, 490 и 689 К. Такой выбор обусловлен наличием данных о среднеквадратичных тепловых смещениях атомов соединения $AgBr$ только при этих температурах [3, 4]. Величины параметров кристаллической решетки и среднеквадратичных смещений, использовавшихся нами при расчетах, представлены в табл. 2. Вычисления показали, что тенденции температурной зависимости зонной структуры, присущие ШГК и представленные в этой статье на примере кристалла $NaCl$, имеют место и в случае $AgBr$.

Таблица 2
Значения параметров кристаллической решетки a (\AA) и среднеквадратичных смещений $\langle u^2 \rangle_{Ag}$ (\AA^2) и $\langle u^2 \rangle_{Br}$ (\AA^2) для $AgBr$ от 100 К до 689 К

$T(K)$	$a (\text{\AA})$	$\langle u^2 \rangle_{Ag}$ (\AA^2)	$\langle u^2 \rangle_{Br}$ (\AA^2)	Литература
100	5.7401	0.0100	0.0084	[3]
293	5.7750	0.0365	0.0305	[3]
490	5.8140	0.0501	0.0281	[4]
689	5.8860	0.1034	0.0491	[4]

Каких-либо особенностей зонного спектра, связанных с поведением *d*-состояний атомов серебра, коррелирующих с температурой, выявить не удалось. Однако было обнаружено перераспределение плотности заряда валентных электронов, обу-

словленное температурой, которое проявляется в виде локализации зарядовой плотности преимущественно на связях между атомами, образующими соединение *AgBr*.

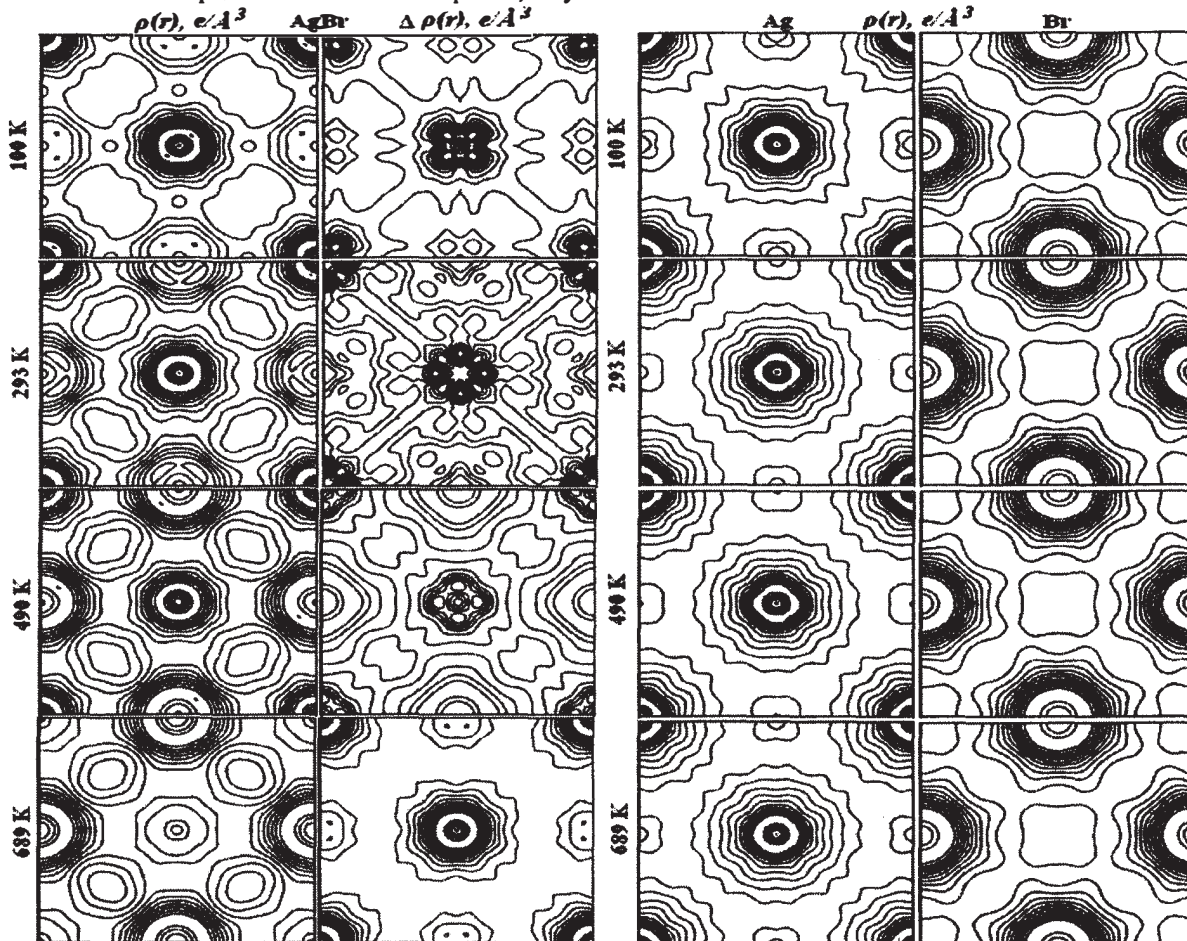


Рис. 4. Карты распределения полной (первая колонка), разностной (вторая колонка), катионной (Ag) и анионной (Br) плотностей заряда валентных электронов соединения AgBr в интервале температур от 100 K до 689 K

Карты распределения полной электронной плотности $\rho(r)$ и разностной плотности заряда $\Delta\rho(r)$, вычисленные для соединения *AgBr* при температурах 100, 293, 490 и 689 K, представлены на рис. 4 (первая и вторая колонка). Атомы серебра расположены в центре и углах квадратов, изображающих распределение плотности в плоскости, где расположены атомы катиона и аниона кристалла. В центрах каждой стороны квадратов располагаются атомы брома. Как видно из рисунка, с повышением температуры общая картина распределения полной и разностной плотности распределения заряда валентных электронов кристалла меняется. Отличие карт полной и разностной плотности состоит в том, что на картах полной плотности темные участки соответствуют сгущению заряда и его повышенной плотности (максимумы), а на картах разностной плотности эти участки соответствуют отрицательным областям с минимумами плотности заряда. Распределение электронной плотности в катионной и анионной подрешетках представлено также на рис.4 (две последние колонки соответственно). Из рисунка вид-

но, что увеличение температуры практически не меняет общей картины распределения заряда в подрешетке аниона (атом *Br*), тогда как в решетке катиона (атом *Ag*) наблюдаются изменения в узловых точках, где по симметрии должны располагаться атомы аниона и куда катион частично распределяет свой заряд.

Более наглядную информацию о перераспределении зарядовой плотности, обусловленном изменением температуры, дают графики контуров распределения разностной плотности кристалла вдоль линий связи катион-анион и катион-катион. Такие графики, вычисленные нами для *AgBr* в выбранном интервале температур, представлены на рис. 5. Из анализа рисунка можно сделать вывод о перетоке зарядовой плотности от катиона к аниону (верхний рисунок) и локализации избыточного заряда на связи (нижний рисунок) между атомами серебра с ростом температуры, что должно сопровождаться ослаблением химической связи в кристалле и увеличением степени ее «разрыхленности».

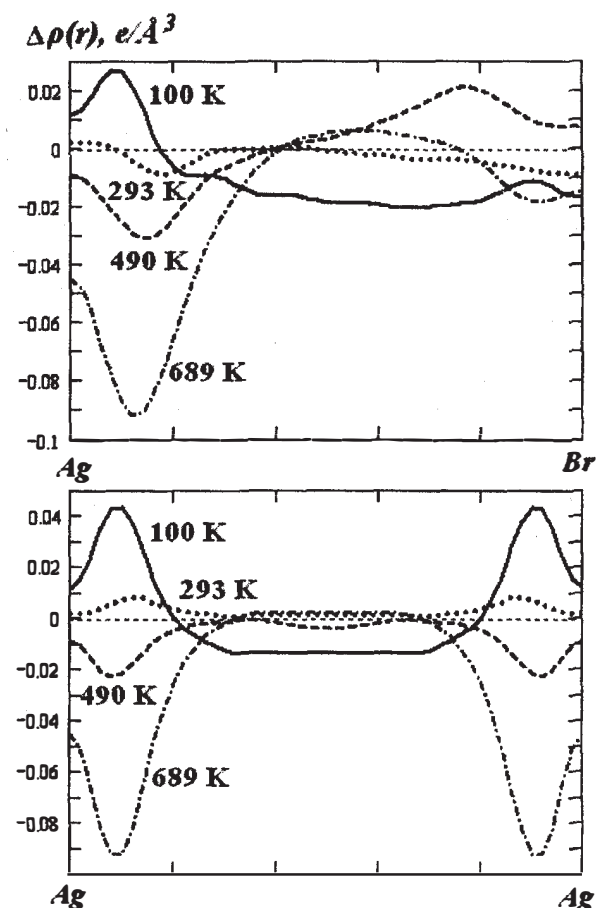


Рис. 5. Распределения разностной плотности заряда валентных электронов соединения AgBr в интервале температур от 100 K до 689 K вдоль связей Ag - Br и Ag- Ag

Литература

1. Акустические кристаллы. Справочник / А. А. Блистанов, В. С. Бондаренко, Н. В. Пере-ломова, Ф. Н. Стрижевская, В. В. Чкалова, М. П. Шаскольская; под. ред. М. П. Шаскольской. – М.: Наука, 1982. – 632 с.
2. Gupta, R. K. Mean-square amplitudes of vibration for ionic crystals / R. K. Gupta // Phys. Rev. B. – 1975. – V. 12. – N 10. – PP. 4452-4459.
3. Takahashi, H. Electron density distribution in AgBr / H. Takahashi, S. Tamaki, S. Sato // J. Phys. Soc. Jap. – 1987. – V. 56. – N 7. – PP. 3593-3597.
4. Nield, V. M. Structural charges in silver bromide at the melting point / V. M. Nield, D. A. Keen, W. Hayes, R. L. McGreevy // J. Phys. Condens. Matter. – 1992. – V. 4. – № 32. – PP. 6703-6714.
5. Журавлев, Ю. Н. Особенности формирования электронной плотности в кристаллах с решеткой NaCl / Ю. Н. Журавлев, Ю. М. Басалаев, А. С. Поплавной // Журнал структурной химии. – 2001. – Т. 42. – № 2. – С. 210-216.
6. Басалаев, Ю. М. Температурная зависимость энергетических уровней в полупроводниковых соединениях $A^2B^4C_2^5$ / Ю. М. Басалаев, Ю. И. Полягалов, А. С. Поплавной //ФТП. – 1991. – Т. 2. – № 5. – С. 952-954.